

## **КОМПОЗИЦИОННЫЕ МАТЕРИАЛЫ**

УДК 621.762

### **МОДЕЛИРОВАНИЕ КОМПОЗИТА ДЛЯ ОЦЕНКИ ЕГО УДЕЛЬНОГО ЭЛЕКТРОСОПРОТИВЛЕНИЯ**

**М.В. Новоселова<sup>1</sup>, Г.В. Романова<sup>2</sup>**

Тверской государственный технический университет

<sup>1</sup>*кафедра физики*

<sup>2</sup>*кафедра информатики и прикладной математики*

Дана теоретическая оценка удельного электросопротивления композиционного материала на основании компьютерного моделирования его структуры. Проведена экспериментальная проверка результатов моделирования на металлических порошковых материалах.

**Введение.** Одним из основных направлений современного материаловедения является получение материалов с заданными свойствами. В этом плане наиболее перспективны композиционные материалы (КМ), полученные методами порошковой металлургии. Они позволяют сохранить в композите индивидуальные свойства компонентов и получить требуемое сочетание свойств, порой антагонистических, чего невозможно достичь в традиционных сплавах. Это особенно актуально для электроконтактных материалов.

При разработке новых КМ наряду с экспериментальными все чаще используются теоретические методы. Теоретическое моделирование материала позволяет сократить количество натурных экспериментов и повысить экономическую эффективность проектирования КМ. Аналитически можно «испытать» некоторую гипотетическую комбинацию компонентов и определить оптимальные характеристики получаемого композита. И только после этого самые перспективные подвергать лабораторным исследованиям для выработки окончательного решения по их использованию.

В статье описана теоретическая оценка удельного электросопротивления КМ на основании компьютерного моделирования его структуры.

**Расчет удельного электросопротивления на модели композиционного порошкового материала.** При изготовлении КМ смесь порошковых компонентов обычно проходит две основные стадии – прессование и спекание. При прессовании частицы испытывают

пластические деформации, в результате которых достигается определенная плотность материала и происходит частичное разрушение (растрескивание) поверхностных пленок на частицах. Спекание в основном предназначено для увеличения доли металлического контакта. Для оценки удельного сопротивления композиционный материал представим в виде трехмерной системы, состоящей из максимально деформированных частиц и не содержащей макропор.

Методику расчета удельного сопротивления рассмотрим на примере двухкомпонентного материала. Простейшим структурным элементом материала считаем кубическую ячейку, содержащую  $N^3$  частиц (контактов), где  $N$  – число частиц на ребре ячейки. Суть моделирования заключается в заполнении случайнym образом кубической ячейки частицами двух компонентов, концентрация которых задается их объемной долей. Для формирования координаты частицы используется ряд равномерно распределенных чисел на интервале  $[0, N^3]$ . При изменении объемной доли 1-го компонента  $\beta_1$  от 0 до 1 удельное электросопротивление  $\rho$  КМ изменяется  $\rho_2$  до  $\rho_1$ , где  $\rho_2$  и  $\rho_1$  – удельное электросопротивление материала 2-го и 1-го компонента соответственно. Далее нижние индексы 1 и 2 в обозначениях также соответствуют номеру компонента.

Эквивалентное удельное электросопротивление  $\rho$  композиционного материала рассчитывается двумя методами, согласно которым материал разбивается эквидистантными поверхностями и трубками тока [1]. В одном случае КМ рассматривается как система  $N$  последовательно соединенных слоев, содержащих  $N^2$  параллельно соединенных контактов. Сопротивление единичного слоя рассчитывается по формуле для параллельного соединения контактов:

$$\frac{1}{(\rho_{cl})_i} = \frac{k_i}{\rho_1} + \frac{l_i}{\rho_2},$$

где  $k_i$  и  $l_i$  – число частиц 1-го и 2-го компонента в  $i$ -ом слое. Выражение для расчета сопротивления КМ имеет вид

$$\rho_{cl} = N \cdot \sum_{i=1}^N (\rho_{cl})_i. \quad (1)$$

В другом случае КМ рассматривается как система из  $N^2$  параллельно соединенных столбцов, содержащих  $N$  последовательно соединенных контактов. Сопротивление единичного столбца рассчитывается по формуле для последовательного соединения контактов:

$$(\rho_{cm})_j = m_j \cdot \rho_1 + n_j \cdot \rho_2,$$

где  $m_j$  и  $n_j$  – число частиц 1-го и 2-го компонента в  $j$ -ом столбце. Выражение для расчета сопротивления КМ имеет вид

$$\rho_{cm} = N \left[ \sum_{j=1}^{N^2} \frac{1}{(\rho_{cm})_j} \right]^{-1}. \quad (2)$$

В итоге удельное электросопротивление КМ определяется как среднее геометрическое значение удельных сопротивлений, рассчитанных по формулам (1) и (2):

$$\rho = \sqrt{\rho_{cl} \cdot \rho_{cm}}. \quad (3)$$

Результаты моделирования (3) следует считать *нижней оценкой* удельного сопротивления КМ, так как модель не учитывает наличие поверхностных (окисных) пленок на площадках контакта частиц. Из исследования процессов контактирования частиц [2] следует, что при наличии частично разрушенных поверхностных пленок удельное сопротивление  $\rho$  материала возрастает на величину  $0,1 \cdot \rho / \beta$ . Максимальное значение коэффициента  $\beta$ , учитывающего долю металлического контакта в общем контакте частиц, составляет 12 %. С учетом приведенных фактов *верхняя оценка* удельного сопротивления компактного КМ составляет  $1,83 \cdot \rho$ .

При изготовлении КМ смешивают навески порошков, задаваясь массовым соотношением компонентов. Связь между объемной  $\beta$  и массовой  $\alpha$  долями компонента имеет вид

$$\beta_1 = \left[ 1 + \frac{d_1}{d_2} \left( \frac{1}{\alpha_1} - 1 \right) \right]^{-1}$$

где  $d_1$  и  $d_2$  – плотность материала 1-го и 2-го компонента.

Рассмотренная методика моделирования может быть распространена на трехкомпонентный КМ.

На рис. 1 показаны реализации расчета относительной электропроводности  $\lambda_1 / \lambda$  в зависимости от объемной доли  $\beta_1$ , где  $\lambda_1 = 1 / \rho_1$  – удельная электропроводность 1-го компонента;  $\lambda = 1 / \rho$  – удельная электропроводность КМ. Сопротивления компонентов отличаются в  $b = \rho_2 / \rho_1$  раз. Как видно из рисунка, при резко отличающихся значениях сопротивлений компонентов изменение проводимости материала происходит немонотонно и в некоторой узкой области объемной доли  $\beta_1$  проводимость изменяется скачком.

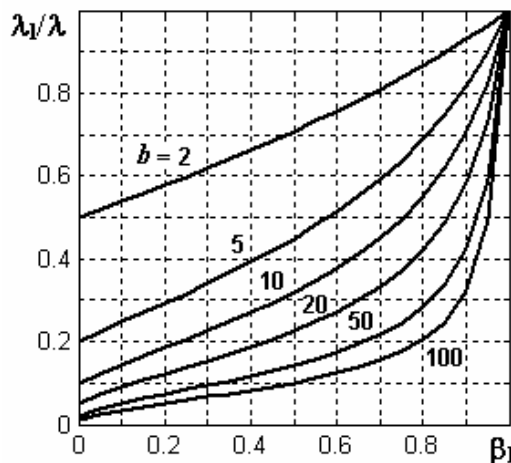


Рис. 1. Электропроводность КМ при различных соотношениях электросопротивлений компонентов

**Сравнение теоретических и экспериментальных значений сопротивления.** Сравнение теоретических значений удельного электросопротивления с экспериментальными [3] представлено на рис. 2 для двухкомпонентных и трехкомпонентных материалов, пористость которых не превышает 5 %. Свойства компонентов приведены в таблице 1.

Таблица 1. Физико-механические свойства монолитных материалов [4]

Материал	Ag	Cu	W	Mo	Ni
Плотность, г/см <sup>3</sup>	10,5	8,9	19,3	10,2	8,7
Удельное сопротивление, 10 <sup>-8</sup> Ом·м	1,6	1,7	5,6	5,2	6,8
Твердость по Бринеллю, МПа	255	450 – 1100	1960 – 2250	1500 – 1600	981
Температура плавления, °C	962	1084	3420	2620	1455

На рис. 2 кривые 1, 2 и 3 соответствуют нижней оценке  $\rho$  (для неокисленных частиц), кривая 4 – верхней оценке (для окисленных частиц). Кривые 1 и 2 построены для материалов  $AgNi$  и  $AgMo$  соответственно. Кривые 3 и 4 – для всех указанных на рисунке КМ одновременно, так как они содержат кроме вольфрама  $W$  либо медь  $Cu$ , либо серебро  $Ag$ , которые обладают близкими значениями плотностей и удельных сопротивлений (см. табл. 1). Добавка третьего компонента

(никеля  $Ni$  в массовой доли 3 %) на электрические свойства КМ не оказывает существенного влияния.

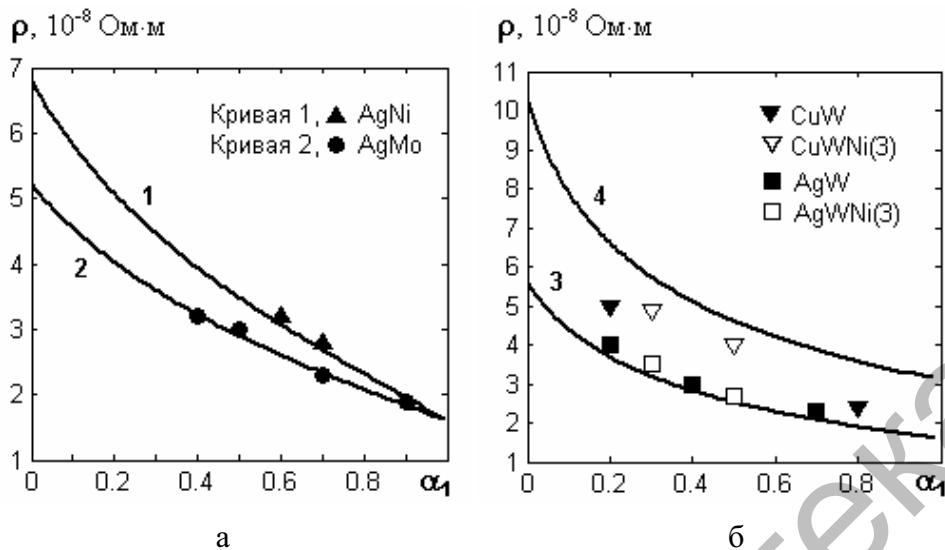


Рис. 2. Зависимость удельного сопротивления от состава материала

Для серебросодержащих образцов ( $AgNi$ ,  $AgMo$ ,  $AgW$ ,  $AgWNi$ ) наблюдается близкое расположение экспериментальных точек к теоретической кривой для материала, контакт частиц которого чисто металлический (без поверхностных пленок).

Для медьсодержащих образцов ( $CuW$ ,  $CuWNi$ ) экспериментальные данные лежат в диапазоне расчетных значений для окисленных и неокисленных частиц. Такое расположение можно объяснить наличием на медных частицах окисных пленок, которые, по-видимому, в процессе спекания не удалились из зоны контакта частиц.

**Заключение.** Сравнение экспериментальных и теоретических значений  $\rho$  показывает, что предлагаемая модель адекватно описывает электрические свойства беспористых материалов с учетом наличия поверхностных пленок на частицах. Данная модель может быть развита в направлении учета макропористости материала.

#### Список литературы

1. Иоссель, Ю.Я. Расчет электрической емкости / Ю.Я. Иоссель, Э.С. Кочанов, М.Г. Струнский // Л. : Энергоиздат, 1981. 288 с.
2. Измайлов, В.В. Моделирование механических и электрических процессов при консолидации дисперсных материалов / В.В. Измайлов,

- М.В. Новоселова // Материалы. Технологии. Инструменты. 2003. Т. 8. № 1. С. 11-16.
3. Горячева, З.В. Спеченные материалы, их свойства и применение / З.В. Горячева. М. : Металлургия, 1979. 72 с.
  4. Физическая энциклопедия. М.: Научное изд-во «Большая Российская энциклопедия», 1988-1998. Т. 1-5.

**COMPOSITE MODELLING FOR THE ESTIMATION OF ITS  
SPECIFIC ELECTRICAL RESISTIVITY**

**M.V. Novosyolova, G.V. Romanova**

A theoretical estimate of the specific electrical resistivity of a composite material is given on the basis of computer simulation of its structure. The results of the modelling were checked experimentally for metal powder materials.